

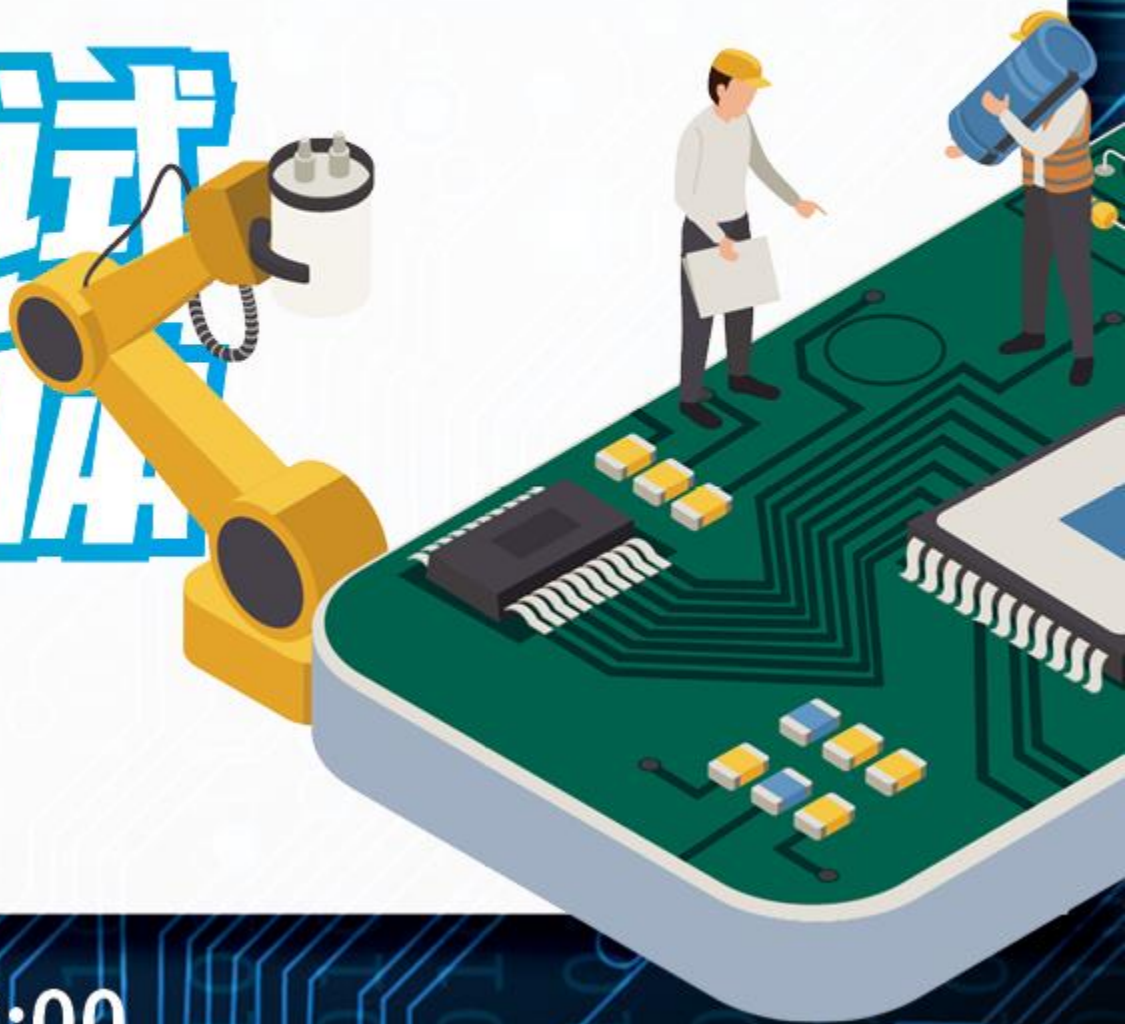
器件静态测试 宽禁带半导体

规范解读

[讲师介绍]

王瑞恒

半导体行业测试专家



▶▶▶ 直播时间: 4月30号 (周五) 14:30-16:00

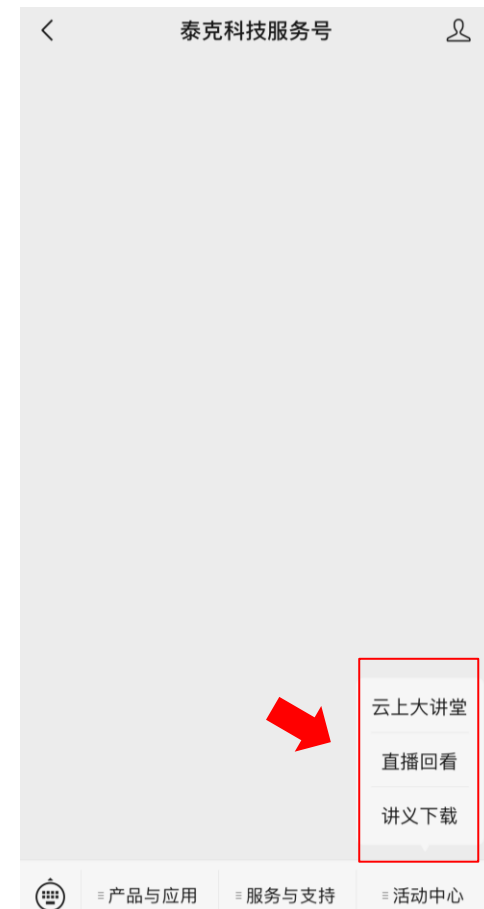


资深工程师在线“营业”，
与您分享热门主题，共话前沿知识，
每月两期，与您相约泰克直播间！

主题	时间
泰克和新能源直播的那些事儿	3.5
纳米发电机测试难点及解决方法	3.19
更高速率，更高密度，400G PAM4正出发	4.2
5G CPE芯片及模块应用测试	4.23
最新USB4规范解析及一致性测试	4.28
宽禁带半导体器件静态测试规范解读	4.30
新型计算框架及忆阻器、神经网络测试	5.14
汽车雷达模块应用与测试挑战	5.28



关注“泰克科技”服务号



目录

- ◇ 什么是宽禁带半导体及静态测试
- ◇ 宽禁带半导体静态测试规范 IEC60747-8
 - IEC60747-8内容解读
 - 如何使用IEC60747-8
- ◇ 泰克公司PCT测试系统介绍
 - 设备组成及工作范围
 - 使用方法及测试技巧



什么是宽禁带半导体及静态测试

什么是宽禁带半导体

什么是静态测试

名词解释

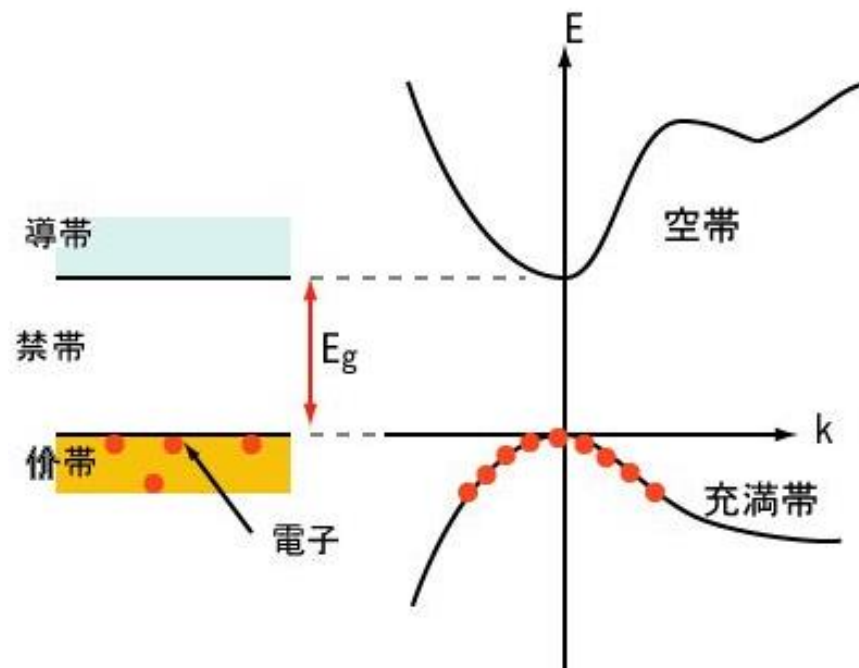
宽禁带半导体

材料分类:

金属: 低导通电阻, 击穿电压低

绝缘体: 击穿电压高, 导通电阻高

半导体: 低导通电阻, 高击穿电压
(石墨烯、碳纳米管)



半导体材料中禁带宽度在2.3eV以上的材料——SiC GaN

名词解释

静态测试

静态：也叫稳态或者DC状态，施加激励（电压/电流）到**稳定状态**后再进行测试。

常作为器件的“体检”！是特性测试中的基本测试；

特点：**测试稳定**，**精度高**，**测试慢**；

设备：源和测量单元一体，也就是SMU设备；



名词解释

宽禁带材料器件的静态测试参数

电源工程师工作流程

静态测试应用于功率器件
功能验证/参数测试

STEP1: 功率器件选择

- 功率二极管的特性验证
- 元器件IGBT, MOSFET, 特性验证
- 双脉冲测试



STEP2: 电源原型版设计

- 开关系统设计优化
- 开关损耗测试
- 磁损耗测试
- 环路响应测试
- 板级mV级纹波测试
- SiC, GaN系统设计优化验证



STEP3: 电源质量分析

- 电测效率测试
- 电流谐波标准: IEC610000测试
- 电源输出纹波测试



STEP4: 产品最终认证

- EMC预一致性测试
- 电源待机标准测试
- 电源谐波标准测试
- 直流低待机电流测试
- 老化实验验证



10. Characteristics

Table 7. Characteristics

Symbol	Parameter	Conditions	Min	Typ	Max	Unit
Static characteristics						
$V_{GS(th)}$	gate-source threshold voltage	$I_D = 1 \text{ mA}; V_{DS} = V_{GS}; T_j = 25 \text{ }^\circ\text{C}$	3.4	3.9	4.5	V
		$I_D = 1 \text{ mA}; V_{DS} = V_{GS}; T_j = 175 \text{ }^\circ\text{C}; \text{Fig. 10}$	-	-	-	V
		$I_D = 1 \text{ mA}; V_{DS} = V_{GS}; T_j = 175 \text{ }^\circ\text{C}; \text{Fig. 10}$	-	-	5.2	V
I_{DSS}	drain leakage current	$V_{DS} = 650 \text{ V}; V_{GS} = 0 \text{ V}; T_j = 25 \text{ }^\circ\text{C}$	-	-	-	μA
		$V_{DS} = 650 \text{ V}; V_{GS} = 0 \text{ V}; T_j = 175 \text{ }^\circ\text{C}; \text{Fig. 10}$	-	-	-	μA
I_{GSS}	gate leakage current	$V_{GS} = 20 \text{ V}; V_{DS} = 0 \text{ V}; T_j = 25 \text{ }^\circ\text{C}$	-	10	100	nA
		$V_{GS} = 20 \text{ V}; V_{DS} = 0 \text{ V}; T_j = 175 \text{ }^\circ\text{C}; \text{Fig. 10}$	-	10	100	nA
R_{Dson}	drain-source on-state resistance	$V_{GS} = 10 \text{ V}; I_D = 25 \text{ A}; T_j = 25 \text{ }^\circ\text{C}$	-	50	60	mΩ
		$V_{GS} = 10 \text{ V}; I_D = 25 \text{ A}; T_j = 175 \text{ }^\circ\text{C}; \text{Fig. 10}$	-	120	-	mΩ
R_G	gate resistance	$f = 1 \text{ MHz}$	-	2.3	-	Ω
Dynamic characteristics						
$Q_{G(tot)}$	total gate charge	$I_D = 25 \text{ A}; V_{DS} = 400 \text{ V}; T_j = 25 \text{ }^\circ\text{C}; \text{Fig. 11}$	-	5	-	nC
Q_{GS}	gate-source charge	$I_D = 25 \text{ A}; V_{DS} = 400 \text{ V}; T_j = 25 \text{ }^\circ\text{C}; \text{Fig. 11}$	-	-	-	nC
Q_{GD}	gate-drain charge	$I_D = 25 \text{ A}; V_{DS} = 400 \text{ V}; T_j = 25 \text{ }^\circ\text{C}; \text{Fig. 11}$	-	-	-	nC
C_{iss}	input capacitance	$V_{DS} = 400 \text{ V}; V_{GS} = 0 \text{ V}; T_j = 25 \text{ }^\circ\text{C}$	-	-	-	pF
C_{oss}	output capacitance	$V_{GS} = 0 \text{ V}; V_{DS} = 400 \text{ V}; T_j = 25 \text{ }^\circ\text{C}$	-	130	-	pF
C_{riss}	reverse transfer capacitance	$V_{GS} = 0 \text{ V}; V_{DS} = 400 \text{ V}; T_j = 25 \text{ }^\circ\text{C}$	-	-	-	pF
$C_{o(er)}$	effective output capacitance, energy related	$0 \text{ V} \leq V_{GS} \leq 20 \text{ V}; V_{DS} = 400 \text{ V}; T_j = 25 \text{ }^\circ\text{C}$	-	-	-	pF
$C_{o(tr)}$	effective output capacitance, time related	$0 \text{ V} \leq V_{GS} \leq 20 \text{ V}; V_{DS} = 400 \text{ V}; T_j = 25 \text{ }^\circ\text{C}$	-	-	-	pF
$t_{d(on)}$	turn-on delay time	$V_{DS} = 400 \text{ V}; R_{\theta(jc)} = 1 \text{ }^\circ\text{C/W}; V_{GS} = 12 \text{ V}; R_{G(ext)} = 40 \text{ }^\circ\Omega$	-	57	-	ns
t_r	rise time	$V_{DS} = 400 \text{ V}; R_{\theta(jc)} = 1 \text{ }^\circ\text{C/W}; V_{GS} = 12 \text{ V}; R_{G(ext)} = 40 \text{ }^\circ\Omega$	-	-	-	ns
$t_{d(off)}$	turn-off delay time	$V_{DS} = 400 \text{ V}; R_{\theta(jc)} = 1 \text{ }^\circ\text{C/W}; V_{GS} = 12 \text{ V}; R_{G(ext)} = 40 \text{ }^\circ\Omega$	-	-	-	ns
t_f	fall time	$V_{DS} = 400 \text{ V}; R_{\theta(jc)} = 1 \text{ }^\circ\text{C/W}; V_{GS} = 12 \text{ V}; R_{G(ext)} = 40 \text{ }^\circ\Omega$	-	-	-	ns
Q_{oss}	output charge	$V_{GS} = 0 \text{ V}; V_{DS} = 400 \text{ V}; T_j = 25 \text{ }^\circ\text{C}; \text{Fig. 11}$	-	125	-	nC
Source-drain diode						
V_{SD}	source-drain voltage	$I_S = 25 \text{ A}; V_{GS} = 0 \text{ V}; T_j = 25 \text{ }^\circ\text{C}; \text{Fig. 13}$	-	1.9	-	V
		$I_S = 12.5 \text{ A}; V_{GS} = 0 \text{ V}; T_j = 25 \text{ }^\circ\text{C}$	-	1.35	-	V
t_{rr}	reverse recovery time	$I_S = 25 \text{ A}; di_S/dt = -1000 \text{ A}/\mu\text{s}; V_{GS} = 0 \text{ V}; V_{DS} = 400 \text{ V}; \text{Fig. 14}$	-	54	-	ns
Q_r	recovered charge	$I_S = 25 \text{ A}; di_S/dt = -1000 \text{ A}/\mu\text{s}; V_{GS} = 0 \text{ V}; V_{DS} = 400 \text{ V}; \text{Fig. 14}$	-	125	-	nC

静态测试

动态测试-
双脉冲

静态测试

动态测试-
双脉冲

宽禁带半导体静态测试规范 IEC60747-8

IEC60747-8内容解读

怎样使用IEC60747-8

IEC60747-8内容解读

内容解读



测试标准/规范

IEC 60747-8

Edition 3.0 2010-12

INTERNATIONAL
STANDARD

NORME
INTERNATIONALE

Semiconductor devices – Discrete devices –
Part 8: Field-effect transistors

ICS 31.080.01 ; 31.080.30
L 42



中华人民共和国国家标准

GB/T ×××× - 200× / IEC 60747-9:2007

半导体器件 分立器件
第9部分：绝缘栅双极晶体管 (IGBT)

Semiconductor devices-Discrete devices-
Part 9: Insulated-gate bipolar transistors (IGBT)
(IEC 60747-9: 2007, IDT)

(报批稿)



IEC60747-8内容解读

内容解读

请看规范文档

怎样使用IEC60747-8

怎样使用规范



测试标准/规范

IEC 60747-8

Edition 3.0 2010-12

INTERNATIONAL
STANDARD

NORME
INTERNATIONALE

Semiconductor devices – Discrete devices –
Part 8: Field-effect transistors



10. Characteristics

Table 7. Characteristics

Symbol	Parameter	Conditions	Min	Typ	Max	Unit
Static characteristics						
$V_{GS(th)}$	gate-source threshold voltage	$I_D = 1 \text{ mA}; V_{DS}=V_{GS}; T_J = 25 \text{ }^\circ\text{C}$	3.4	3.9	4.5	V
		$I_D = 1 \text{ mA}; V_{DS}=V_{GS}; T_J = 175 \text{ }^\circ\text{C}; \text{Fig. 9}$	2.2	-	-	V
		$I_D = 1 \text{ mA}; V_{DS}=V_{GS}; T_J = -55 \text{ }^\circ\text{C}; \text{Fig. 9}$	-	-	5.2	V
I_{DSS}	drain leakage current	$V_{DS} = 650 \text{ V}; V_{GS} = 0 \text{ V}; T_J = 25 \text{ }^\circ\text{C}$	-	2	25	μA
		$V_{DS} = 650 \text{ V}; V_{GS} = 0 \text{ V}; T_J = 175 \text{ }^\circ\text{C}$	-	25	-	μA
I_{GSS}	gate leakage current	$V_{GS} = -20 \text{ V}; V_{DS} = 0 \text{ V}; T_J = 25 \text{ }^\circ\text{C}$	-	10	100	nA
		$V_{GS} = 20 \text{ V}; V_{DS} = 0 \text{ V}; T_J = 25 \text{ }^\circ\text{C}$	-	10	100	nA
$R_{DS(on)}$	drain-source on-state resistance	$V_{GS} = 10 \text{ V}; I_D = 25 \text{ A}; T_J = 25 \text{ }^\circ\text{C}$	-	50	60	mΩ
		$V_{GS} = 10 \text{ V}; I_D = 25 \text{ A}; T_J = 175 \text{ }^\circ\text{C}; \text{Fig. 10}$	-	120	-	mΩ
R_G	gate resistance	$f = 1 \text{ MHz}$	-	2.3	-	Ω
Dynamic characteristics						
$Q_{G(tot)}$	total gate charge	$I_D = 25 \text{ A}; V_{DS} = 400 \text{ V}; V_{GS} = 10 \text{ V}; T_J = 25 \text{ }^\circ\text{C}$	-	15	-	nC
Q_{GS}	gate-source charge		-	6	-	nC
Q_{GD}	gate-drain charge		-	4	-	nC
C_{iss}	input capacitance	$V_{DS} = 400 \text{ V}; V_{GS} = 0 \text{ V}; f = 1 \text{ MHz}; T_J = 25 \text{ }^\circ\text{C}; \text{Fig. 11}$	-	1000	-	pF
C_{oss}	output capacitance		-	130	-	pF
C_{rss}	reverse transfer capacitance		-	8	-	pF
$C_{o(er)}$	effective output capacitance, energy related	$0 \text{ V} \leq V_{DS} \leq 400 \text{ V}; V_{GS} = 0 \text{ V}; T_J = 25 \text{ }^\circ\text{C}; \text{Fig. 12}$	-	190	-	pF
$C_{o(tr)}$	effective output capacitance, time related	$0 \text{ V} \leq V_{DS} \leq 400 \text{ V}; V_{GS} = 0 \text{ V}; T_J = 25 \text{ }^\circ\text{C}$	-	310	-	pF
$t_{d(on)}$	turn-on delay time	$V_{DS} = 400 \text{ V}; R_L = 16 \text{ } \Omega; V_{GS} = 12 \text{ V}; R_{G(ext)} = 40 \text{ } \Omega$	-	57	-	ns
t_r	rise time		-	10	-	ns
$t_{d(off)}$	turn-off delay time		-	88	-	ns
t_f	fall time		-	11	-	ns
Q_{oss}	output charge	$V_{GS} = 0 \text{ V}; V_{DS} = 400 \text{ V}$	-	125	-	nC
Source-drain diode						
V_{SD}	source-drain voltage	$I_S = 25 \text{ A}; V_{GS} = 0 \text{ V}; T_J = 25 \text{ }^\circ\text{C}; \text{Fig. 13}$	-	1.9	-	V
		$I_S = 12.5 \text{ A}; V_{GS} = 0 \text{ V}; T_J = 25 \text{ }^\circ\text{C}$	-	1.35	-	V
t_{rr}	reverse recovery time	$I_S = 25 \text{ A}; di/dt = -1000 \text{ A}/\mu\text{s}; V_{GS} = 0 \text{ V}; V_{DS} = 400 \text{ V}; \text{Fig. 14}$	-	54	-	ns
Q_r	recovered charge		-	125	-	nC

测试示例: IGBT 典型特性参数

Electrical characteristics

$T_J = 25\text{ }^\circ\text{C}$ unless otherwise specified.

Table 4. Static characteristics

Symbol	Parameter	Test conditions	Min.	Typ.	Max.	Unit
$V_{(BR)CES}$	Collector-emitter breakdown voltage ($V_{GE} = 0$)	$I_C = 2\text{ mA}$	1200			V
$V_{CE(sat)}$	Collector-emitter saturation voltage	$V_{GE} = 15\text{ V}, I_C = 15\text{ A}$		2.1	2.6	V
		$V_{GE} = 15\text{ V}, I_C = 15\text{ A}$ $T_J = 125\text{ }^\circ\text{C}$		2.4		
		$V_{GE} = 15\text{ V}, I_C = 15\text{ A}$ $T_J = 175\text{ }^\circ\text{C}$		2.5		
$V_{GE(th)}$	Gate threshold voltage	$V_{CE} = V_{GE}, I_C = 500\text{ }\mu\text{A}$	5	6	7	V
I_{CES}	Collector cut-off current ($V_{GE} = 0$)	$V_{CE} = 1200\text{ V}$			25	μA
I_{GES}	Gate-emitter leakage current ($V_{CE} = 0$)	$V_{GE} = \pm 20\text{ V}$			± 250	nA

Table 5. Dynamic characteristics

Symbol	Parameter	Test conditions	Min.	Typ.	Max.	Unit
C_{ies}	Input capacitance	$V_{CE} = 25\text{ V}, f = 1\text{ MHz}, V_{GE} = 0$	-	1300	-	pF
C_{oes}	Output capacitance		-	105	-	pF
C_{res}	Reverse transfer capacitance		-	32	-	pF
Q_g	Total gate charge	$V_{CC} = 900\text{ V}, I_C = 15\text{ A}, V_{GE} = 15\text{ V}, \text{ see Figure 23}$	-	67	-	nC
Q_{ge}	Gate-emitter charge		-	8	-	nC
Q_{gc}	Gate-collector charge		-	38	-	nC

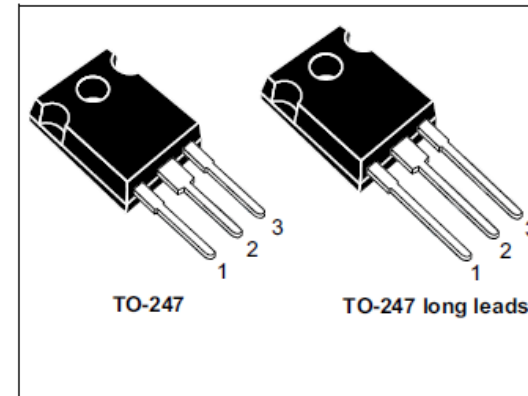
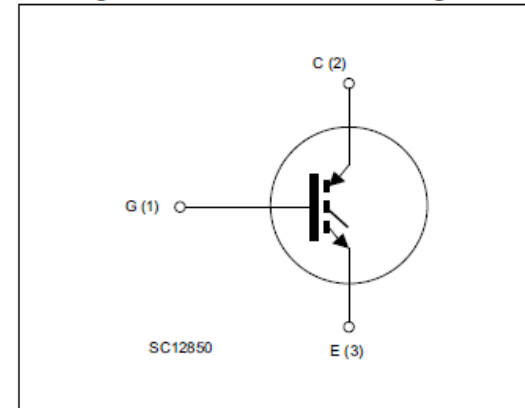


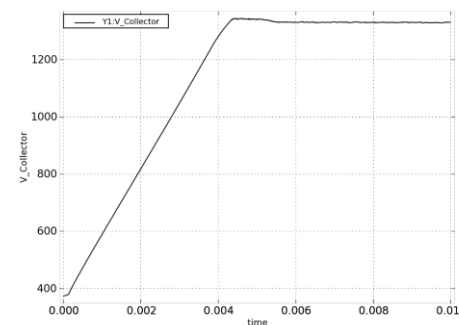
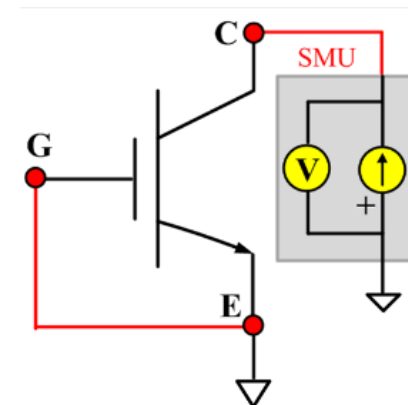
Figure 1. Internal schematic diagram



测试示例: V_{CES} (BV_{CES})

Symbol	Parameter	Test conditions	Min.	Typ.	Max.	Unit
$V_{(BR)CES}$	Collector-emitter breakdown voltage ($V_{GE} = 0$)	$I_C = 2 \text{ mA}$	1200			V

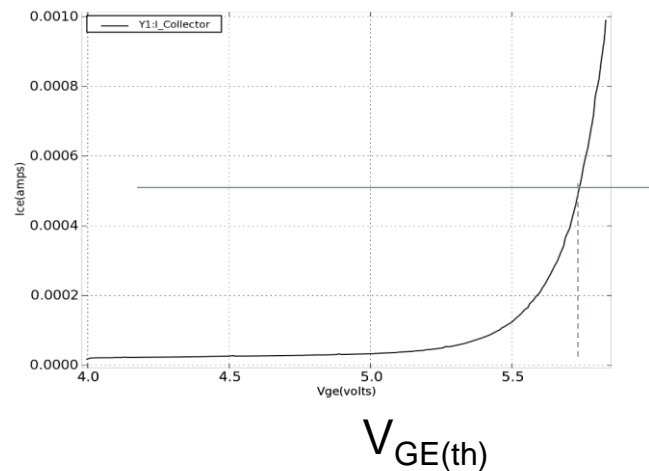
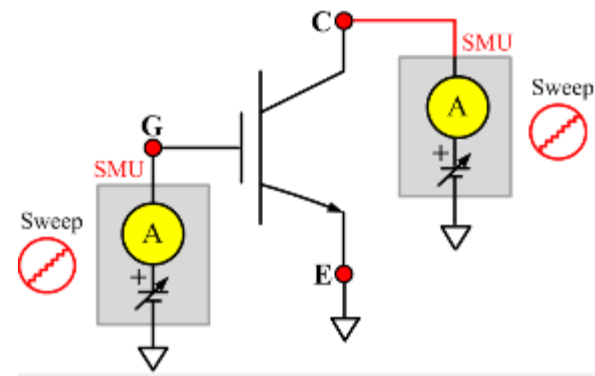
- **参数物理意义:** 在不加栅压的情况下($V_{GE}=0$), 看 Collector 与 Emitter的击穿电压. 一般以电流在某特定值下的Collector的电压记为 V_{CES}
- **一般测试方法:** 在Collector上加规定电流 ($I_C=2\text{mA}$) Gate及Emitter 接common Lo. 测试 Collector 端的电压



测试示例: V_{GE} ($V_{GE(th)}$)

Symbol	Parameter	Test conditions	Min.	Typ.	Max.	Unit
$V_{GE(th)}$	Gate threshold voltage	$V_{CE} = V_{GE}, I_C = 500 \mu A$	5	6	7	V

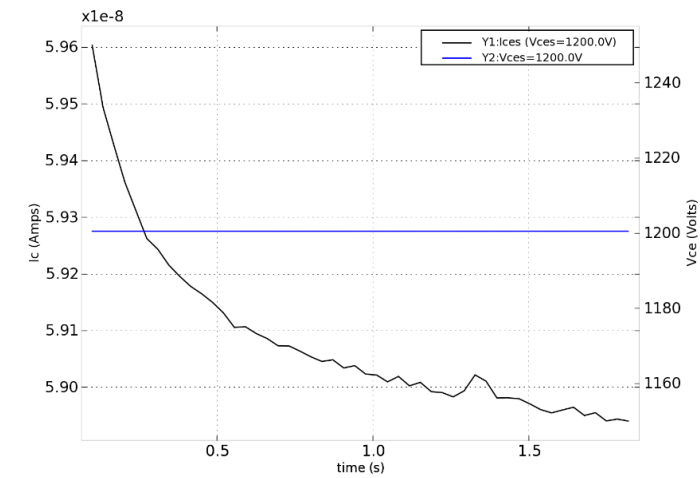
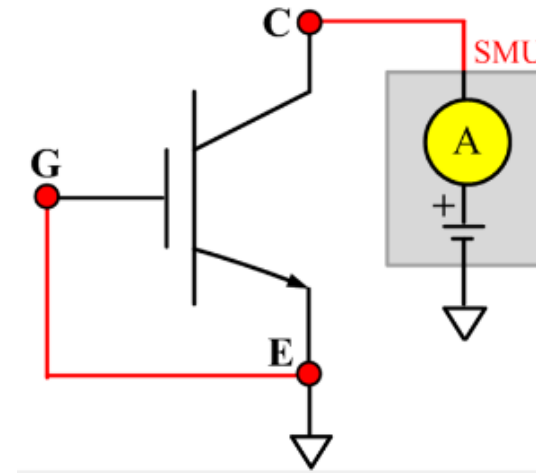
- **参数物理意义:** Collector与Emitter间有微小电流开始通过时的 V_{GE} 值。用于作为衡量IGBT开始导通时的 V_{GE} 值的尺度。
- **一般测试方法:** 在Gate及Collector上加同步的扫描电压 (SweepV 4~7V i.e.) Emitter 接common Lo. 测试Collector 端的电流。当其值等于额定值时的VG记为 $V_{GE(th)}$



Test example: I_{CES}

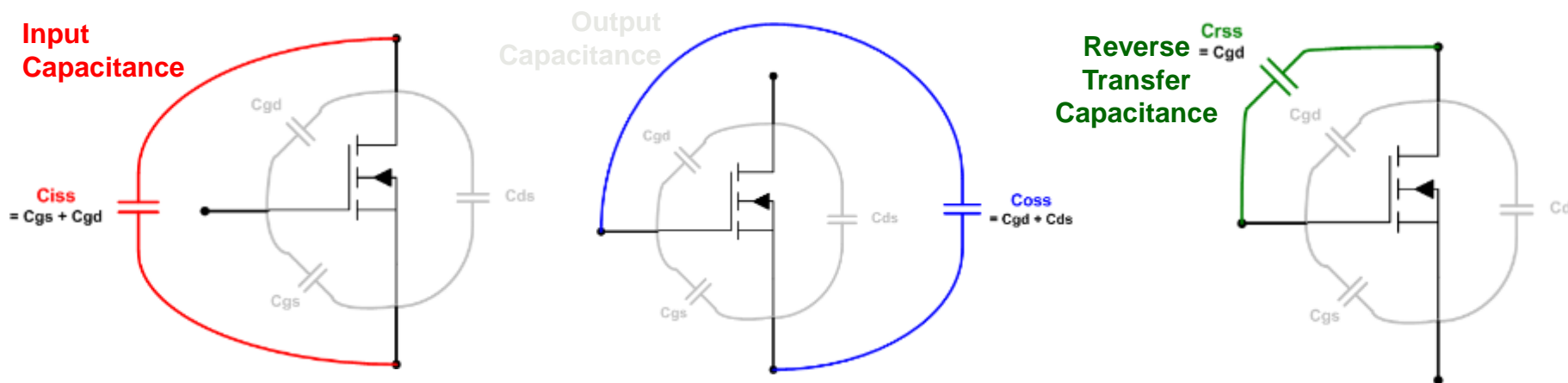
Symbol	Parameter	Test conditions	Min.	Typ.	Max.	Unit
I_{CES}	Collector cut-off current ($V_{GE} = 0$)	$V_{CE} = 1200\text{ V}$			25	μA

- **参数物理意义：** Gate及Emitter 处于短路的状态时在Collector 外加指定的电压时C-E间的漏电流
- **一般测试方法：** 在Collector上加额定固定电压 (BiasV = 1200V i.e.) 将Gate Emitter 接common Lo. 测试Collector 端的电流。



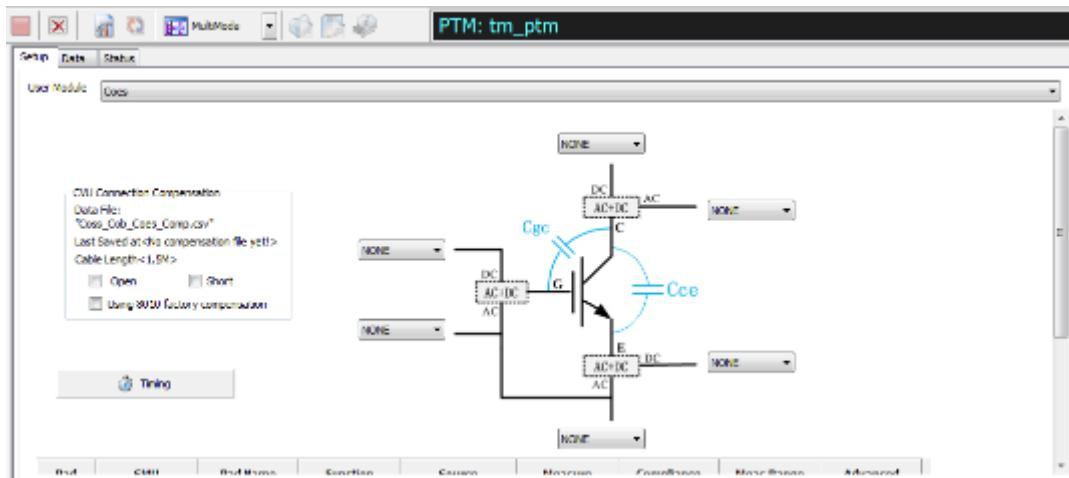
测试示例: 动态特性 – 电容测试

Symbol	Parameter	Test conditions	Min.	Typ.	Max.	Unit
C_{ies}	Input capacitance	$V_{CE} = 25\text{ V}, f = 1\text{ MHz}, V_{GE} = 0$	-	1300	-	pF
C_{oes}	Output capacitance		-	105	-	pF
C_{res}	Reverse transfer capacitance		-	32	-	pF

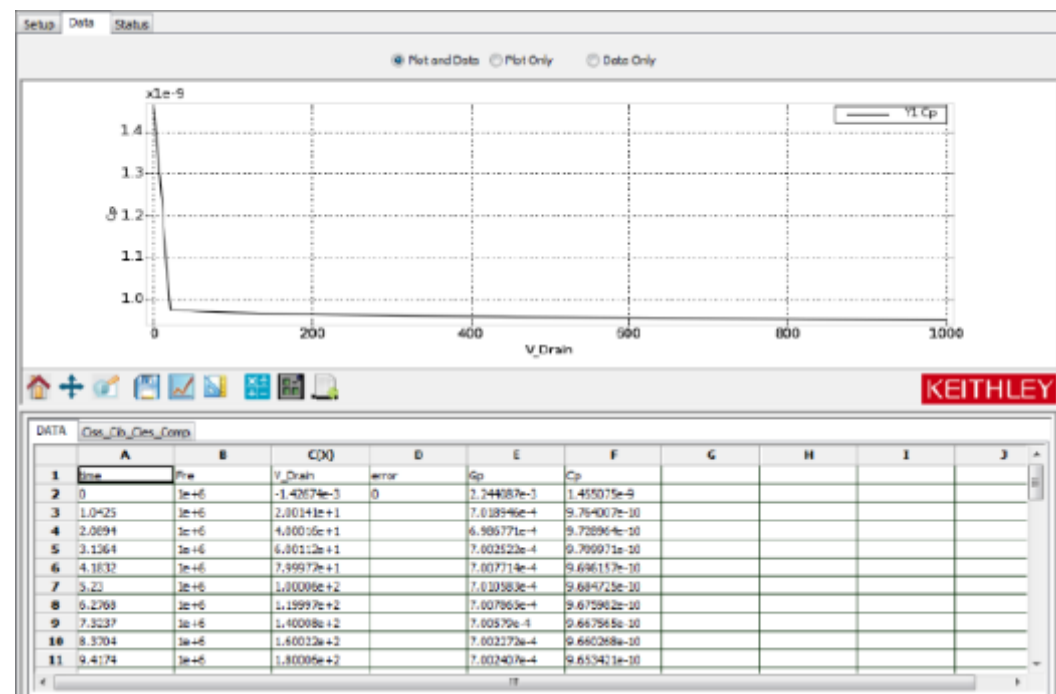


- **参数物理意义:** 功率半导体器件的电容特性决定了器件在电路中的开关时间等特性。为电路设计者选择合适的器件提供指导。尤其是在做开关电源应用时。

测试示例:动态特性 – 电容测试



通过8020简单的硬件连线，及ACS-Basic中的参数测试，我们可以测量出器件在offstate 下的电容值。



泰克公司PCT测试系统介绍

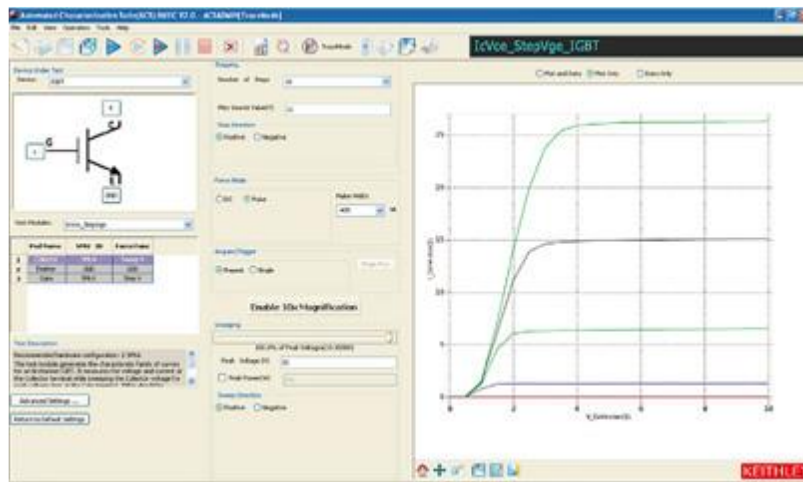
设备组成及工作范围

使用方法及测试技巧

泰克公司PCT测试系统介绍

设备组成及工作范围

- 完善的解决方案，包括SMU仪器、电缆、测试夹具、软件、测试程序库和样本器件
- 提供了宽动态范围：
 - 从 μV 到3kV
 - 从fA到100A
- 灵活的可重新配置的系统，满足不断变化的功率测试要求



配置选型指南					
型号 ¹		集电极/漏极电源 ²		阶跃发生器 基极/栅极 电源	辅助 电源
		高压 模式	高流 模式		
低功率	2600-PCT-1B	200 V/10 A	200 V/10 A	200 V/10 A	N/A
高流	2600-PCT-2B	200 V/10 A	40 V/50 A	200 V/10 A	200 V/10 A
高压	2600-PCT-3B	3 kV/120 mA	200 V/10 A	200 V/10 A	200 V/10 A
高流和 高压	2600-PCT-4B	3 kV/120 mA	40 V/50 A	200 V/10 A	200 V/10 A

泰克公司PCT测试系统介绍

• 设备组成及工作范围

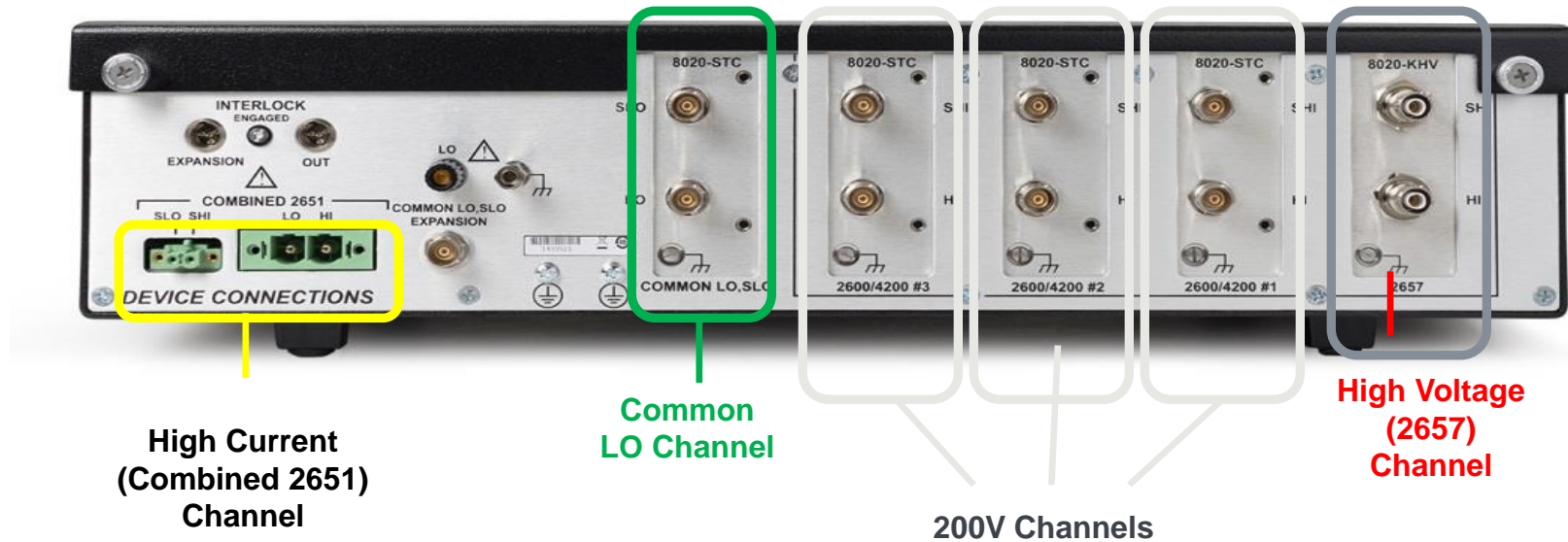


- 8010
 - Bias Tee Options
 - CVU-3K-KIT – Enables 3kV HVCV measurements
 - CVU-200-KIT – Enables 400V differential HVCV measurements
 - Includes both bias tees and integrated IV-CV switch
 - Socket
 - TO-220
 - TO-247
 - Axial lead
 - TEK Curve Tracer Adapter
 - Custom device

泰克公司PCT测试系统介绍

- 设备组成及工作范围

注意与探针台的配合



可匹配的探针台：Cascade、MPI、lakeshore等

泰克公司PCT测试系统介绍

• 使用方法及测试技巧

测试管理软件包括实时绘图的跟踪模式及提取参数的参数模式
支持所有最常见的器件

The screenshot shows the Automated Characterization Suite (ACS) software interface. A red box highlights the toolbar containing various electronic component symbols. Another red box highlights the 'Test Modules' list on the left, which includes modules like 'GFS', 'DQIN', 'DQIN_MDX', 'IDSS', 'DVis_Sweep', 'TVis_Sweep_MDX', 'TVis_Sweep', 'DCSSA', 'RdSON', 'RdSON_MDX', 'VdsON', 'VgsON', and 'VgsON_MDX'. A red arrow points from the text '支持所有最常见的器件' to the toolbar. Another red arrow points from the text '包括每种器件类型最常见的测试' to the 'Test Modules' list.

Test Setup Preview (Read Only)

Mode:
 DC Only
 Pulse Available

Timing

Stop on Compliance

Device Num	SMU	Pad	Function	Force Mode	Source	Measure	Compliance	Meas.Range
1	SMU1	Gate	Sweep V	Pulse Timing 1	[35, 0]	I+V	20.0	5A
				Pulse Timing 2	Linear[0, 0, 0], 0, 0, 1, 0	V	0.001	

Test Info Snapshot

Module Name: GFS
Module Type: ITM
Instrument: KI2651A, KI2600A
DUT: Three term nPowerMOSFET

Functions:
Determine the forward transconductance. Measure current on Drain by applying voltage sweep from Gate to Source and calculate the ratio of change in Id for a change in Vgs: GFS=delta(Ic)/delta(Vgs).

Pin Connection:
Two SMUs are used. KI2651A SMU applies voltage and takes

吉时利助力材料科学/器件

分享**20+**热门研究方向案例

